

Technische Information / Technical Information

euppec

Netz-Thyristor
Phase Control Thyristor

T 548 N 12 ...18

N 

Elektrische Eigenschaften / Electrical properties

Höchstzulässige Werte / Maximum rated values

Periodische Vorwärts- und Rückwärts-SpitzenSperrspannung repetitive peak forward off-state and reverse voltages	$T_{vj} = -40^\circ\text{C} \dots T_{vj\ max}$	V_{DRM}, V_{RRM}	1200 1600	1400 1800	V V
Vorwärts-StoßspitzenSperrspannung non-repetitive peak forward off-state voltage	$T_{vj} = -40^\circ\text{C} \dots T_{vj\ max}$	V_{DSM}	1200 1600	1400 1800	V V
Rückwärts-StoßspitzenSperrspannung non-repetitive peak reverse voltage	$T_{vj} = +25^\circ\text{C} \dots T_{vj\ max}$	V_{RSM}	1300 1700	1500 1900	V V
Durchlaßstrom-Grenzeffektivwert RMSM on-state current		I_{TRSMSM}		860	A
Dauergrenzstrom average on-state current	$T_C = 85^\circ\text{C}$	I_{TAVM}		548	A
Stoßstrom-Grenzwert surge current	$T_{vj} = 25^\circ\text{C}, t_p = 10\text{ ms}$ $T_{vj} = T_{vj\ max}, t_p = 10\text{ ms}$	I_{TSM}		8400 7400	A A
Grenzlastintegral I^2t -value	$T_{vj} = 25^\circ\text{C}, t_p = 10\text{ ms}$ $T_{vj} = T_{vj\ max}, t_p = 10\text{ ms}$	I^2t		360 274	$\text{A}^2\text{s} * 10^3$ $\text{A}^2\text{s} * 10^3$
Kritische Stromsteilheit critical rate of rise of on-state current	DIN IEC 747-6 $f=50\text{ Hz}, v_L = 10\text{ V}, i_{GM} = 1\text{ A}$ $di_G/dt = 1\text{ A}/\mu\text{s}$	$(di_T/dt)_{cr}$		200	$\text{A}/\mu\text{s}$
Kritische Spannungssteilheit critical rate of rise of off-state voltage	$T_{vj} = T_{vj\ max}, v_D = 0,67 V_{DRM}$ 5.Kennbuchstabe / 5th letter F	$(dv_D/dt)_{cr}$		1000	$\text{V}/\mu\text{s}$

Charakteristische Werte / Characteristic values

Durchlaßspannung on-state voltage	$T_{vj} = T_{vj\ max}, i_T = 1200\text{ A}$	v_T	max.	1,68	V
Schleusenspannung threshold voltage	$T_{vj} = T_{vj\ max}$	$V_{T(TO)}$		0,8	V
Ersatzwiderstand slope resistance	$T_{vj} = T_{vj\ max}$	r_T		0,6	$\text{m}\Omega$
Durchlaßkennlinie on-state voltage $v_T = A + B \times i_T + C \times \ln(i_T + 1) + D \times \sqrt{i_T}$	$T_{vj} = T_{vj\ max}$ A= 1,03803 B= 3,90E-04 C=-8,88E-02 D= 2,32E-02				
Zündstrom gate trigger current	$T_{vj} = 25^\circ\text{C}, v_D = 6\text{ V}$	I_{GT}	max.	250	mA
Zündspannung gate trigger voltage	$T_{vj} = 25^\circ\text{C}, v_D = 6\text{ V}$	V_{GT}	max.	1,5	V
Nicht zündener Steuerstrom gate non-trigger current	$T_{vj} = T_{vj\ max}, v_D = 6\text{ V}$ $T_{vj} = T_{vj\ max}, v_D = 0,5 V_{DRM}$	I_{GD}	max. max.	10 5	mA mA
Nicht zündene Steuerspannung gate non-trigger voltage	$T_{vj} = T_{vj\ max}, v_D = 0,5 V_{DRM}$	V_{GD}	max.	0,2	mV
Haltestrom holding current	$T_{vj} = 25^\circ\text{C}, v_D = 6\text{ V}, R_A = 5\Omega$	I_H	max.	300	mA
Einraststrom latching current	$T_{vj} = 25^\circ\text{C}, v_D = 6\text{ V}, R_{GO} = 10\Omega$ $i_{GM} = 1\text{ A}, di_G/dt = 1\text{ A}/\mu\text{s}$ $t_g = 20\text{ }\mu\text{s}$	I_L	max.	1200	mA
Vorwärts- und Rückwärts-Sperrstrom forward off-state and reverse currents	$T_{vj} = T_{vj\ max}$ $v_D = V_{DRM}, v_R = V_{RRM}$	i_D, i_R	max.	50	mA
Zündverzug gate controlled delay time	DIN IEC 747-6 $T_{vj} = 25^\circ\text{C}$ $i_{GM} = 1\text{ A}, di_G/dt = 1\text{ A}/\mu\text{s}$	t_{gd}	max.	4	μs

Technische Information / Technical Information

Netz-Thyristor
Phase Control Thyristor

T 548 N 12...18

eupc

N 

Elektrische Eigenschaften / Electrical properties

Charakteristische Werte / Characteristic values

Vorläufige Daten Preliminary Data

Freiwerdezeit circuit commutatet turn-off time	$T_{vj} = T_{vj \max}, i_{TM}=I_{TAVM}$ $V_{RM} = 100V, V_{DM} = 0,67 V_{DRM}$ $dv_D/dt = 20 V/\mu s, -di_T/dt = 10 A/\mu s$ 4. Kennbuchstabe / 4th letter O	t_q	typ.	250	μs
---	---	-------	------	-----	---------

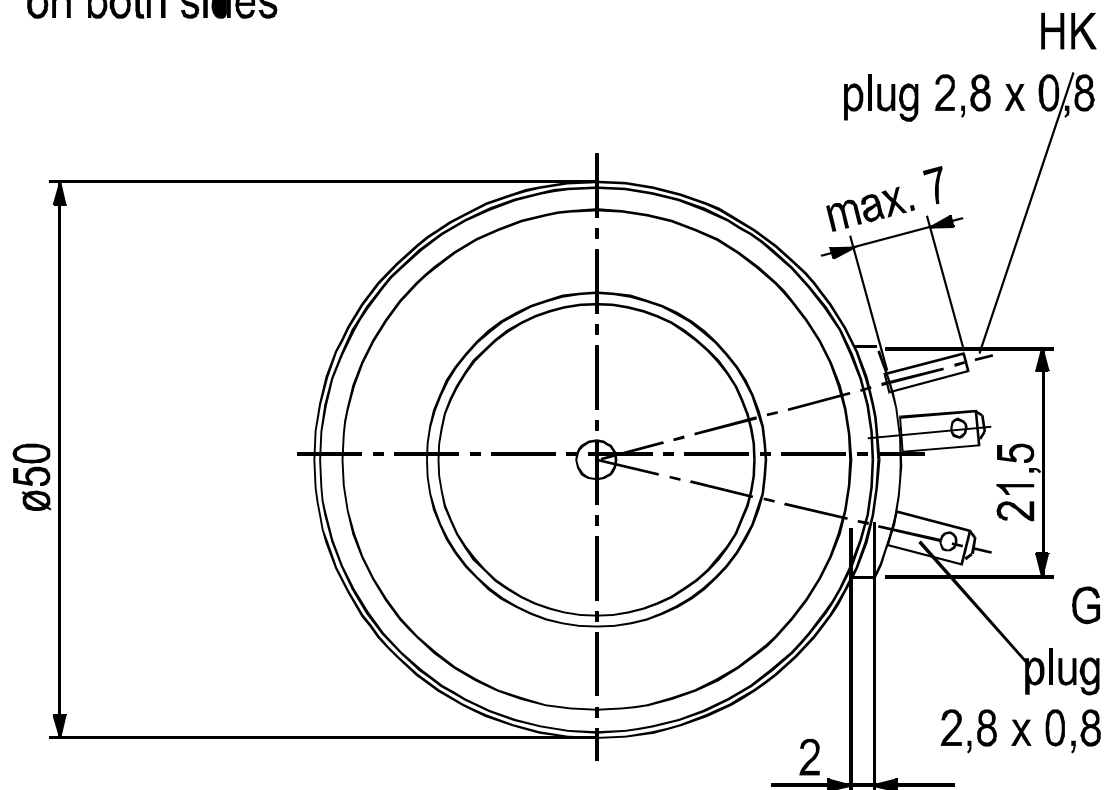
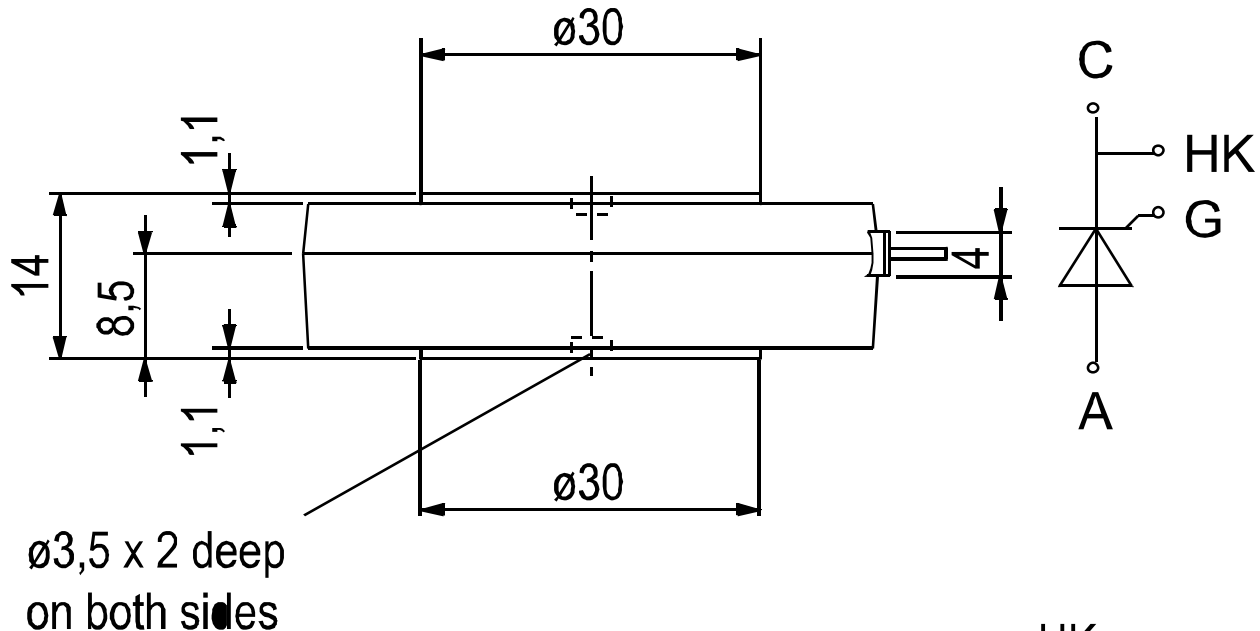
Thermische Eigenschaften / Thermal properties

Innerer Wärmewiderstand thermal resitance, junction to case	Kühlfläche / cooling surface beidseitig / two-sided, $\bar{Z}=180^\circ\sin$ beidseitig / two-sided, DC Anode / anode, $\bar{Z}=180^\circ\sin$ Anode / anode, DC Kathode / cathode, $\bar{Z}=180^\circ\sin$ Kathode / cathode, DC	R_{thJC}	max. max. max. max. max. max.	0,0450 0,0410 0,0740 0,0700 0,1040 0,1000	$^\circ C/W$ $^\circ C/W$ $^\circ C/W$ $^\circ C/W$ $^\circ C/W$ $^\circ C/W$
Übergangs- Wärmewiderstand thermal resitance, case to heatsink	Kühlfläche / cooling surface beidseitig / two-sided einseitig / single-sided	R_{thCK}	max. max.	0,0070 0,0140	$^\circ C/W$ $^\circ C/W$
Höchstzulässige Sperrsichttemperatur max. junction temperature		$T_{vj \ max}$		125	$^\circ C$
Betriebstemperatur operating temperature		$T_{c \ op}$		-40...125	$^\circ C$
Lagertemperatur storage temperature		T_{stg}		-40...150	$^\circ C$

Mechanische Eigenschaften / Mechanical properties

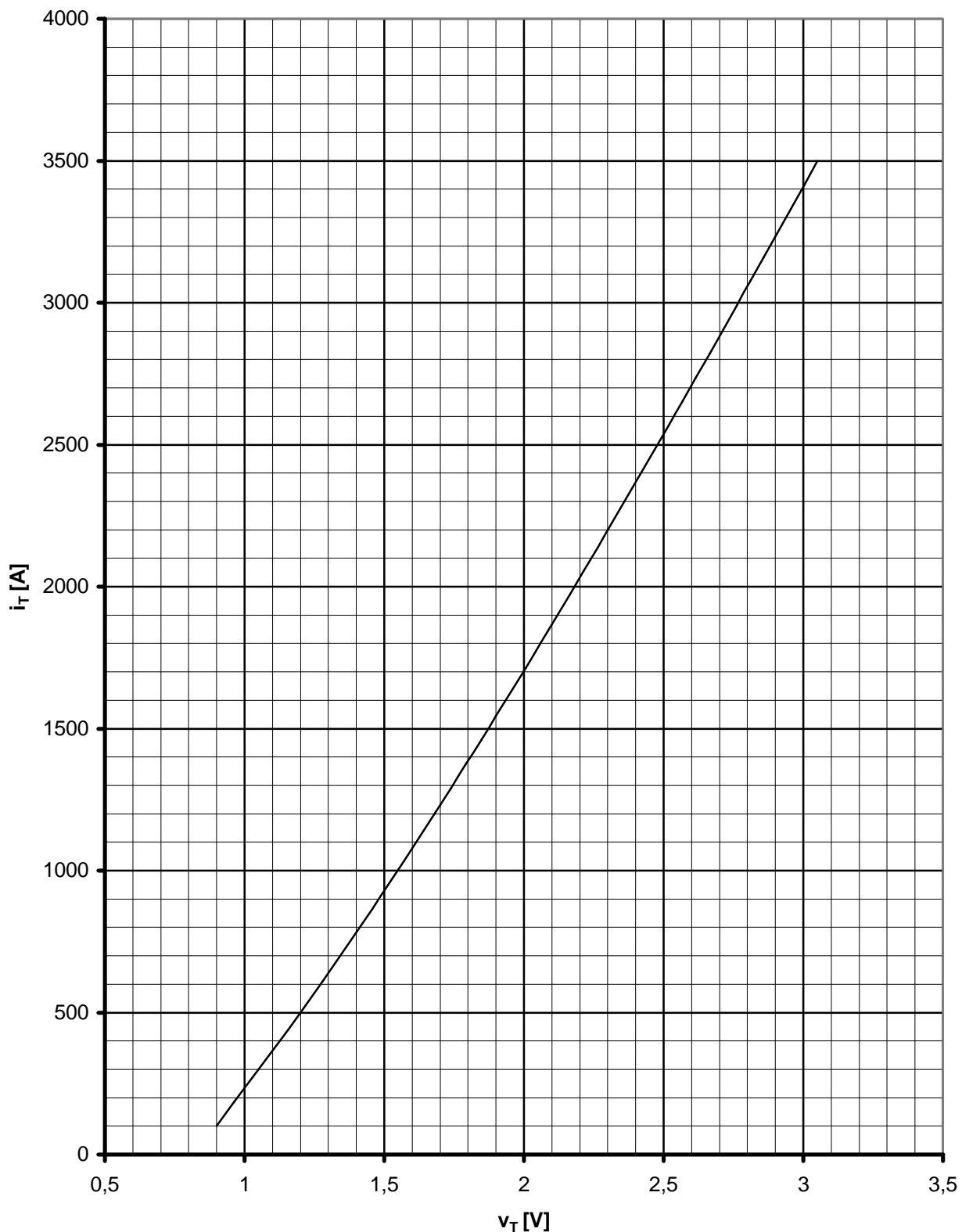
Gehäuse, siehe Anlage case, see appendix			Seite 3 page 3	
Si-Element mit Druckkontakt, Amplifying-Gate Si-pellet with pressure contact, amplifying gate				
Anpreßkraft clamping force		F	6 ...12	kN
Gewicht weight		G	typ. 100	g
Kriechstrecke creepage distance			17	mm
Feuchteklassierung humidity classification	DIN 40040		C	
Schwingfestigkeit vibration resistance	f = 50Hz		50	m/s ²

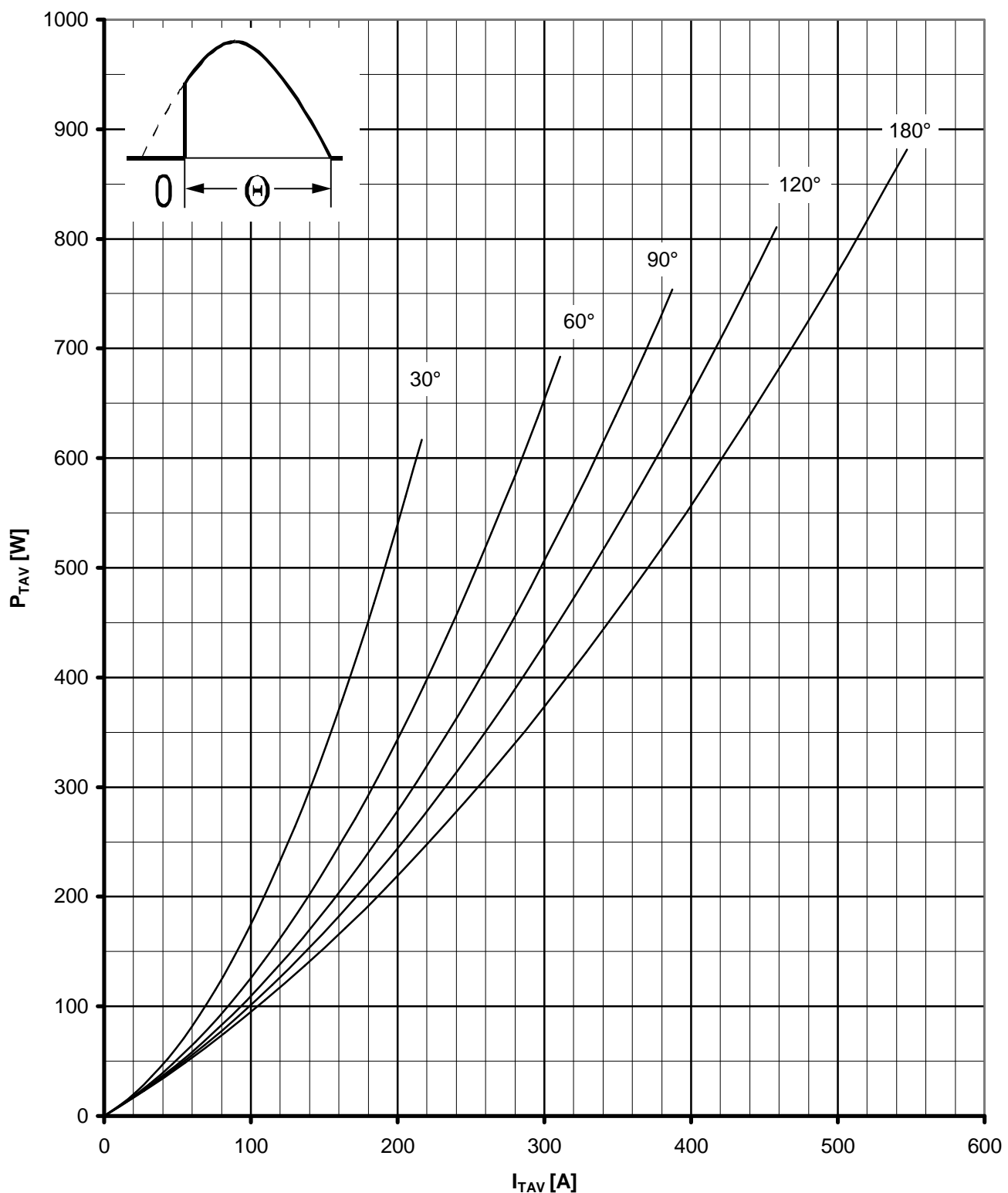
Mit dieser technischen Information werden Halbleiterbauelemente spezifiziert, jedoch keine Eigenschaften zugesichert. Sie gilt in Verbindung mit den zugehörigen Technischen Erläuterungen./ The technical Information specifies semiconductors devices but promises no characteristics. It is valid in combination with the belonging technical notes.

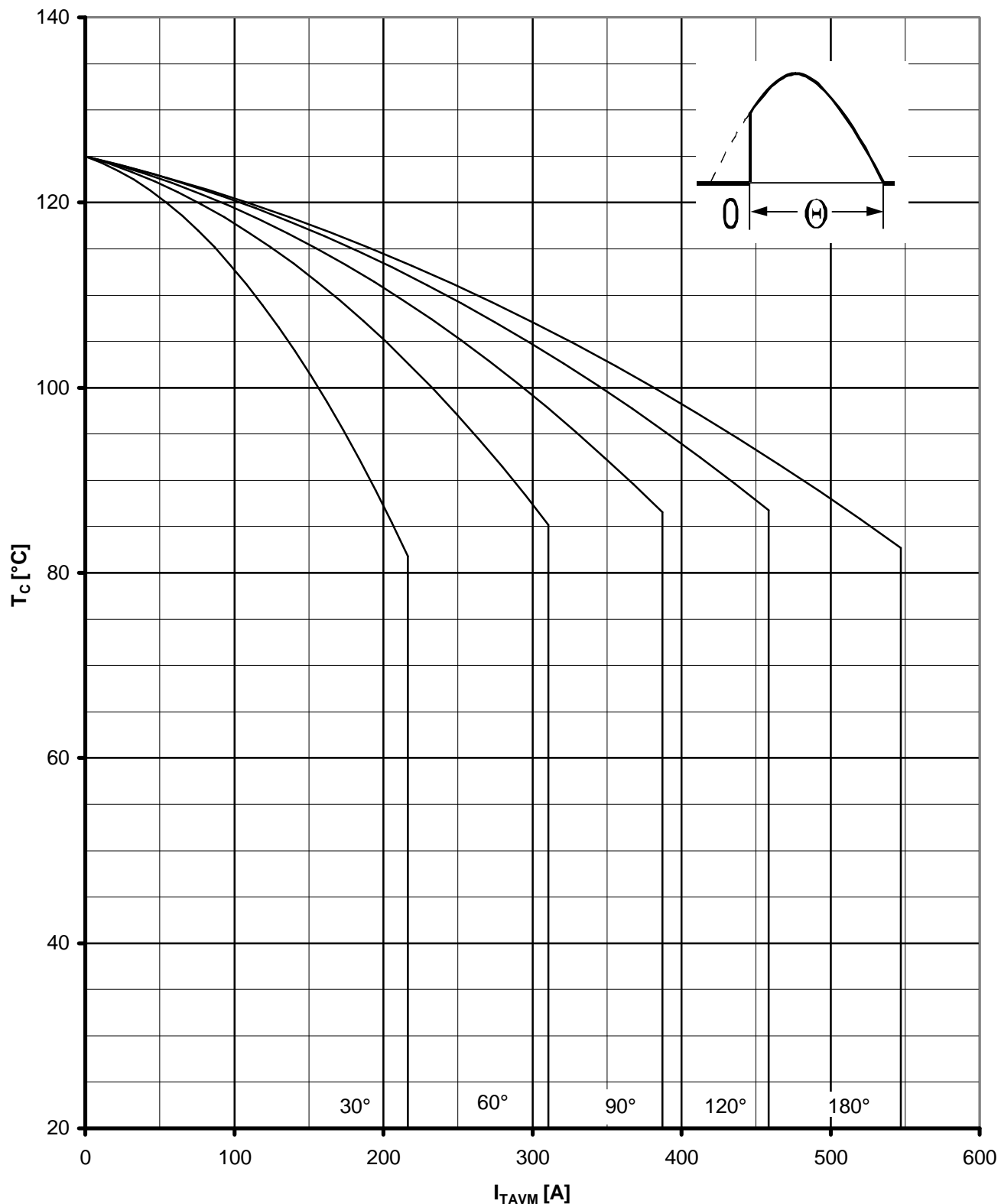




Kühlung cooling	Analytische Elemente des transienten Wärmewiderstandes Z_{thJC} für DC Analytical elements of transient thermal impedance Z_{thJC} for DC							
	Pos.n	1	2	3	4	5	6	7
beidseitig two-sided	R_{thn} [°C/W]	0,00043	0,00557	0,019	0,016			
	τ_n [s]	0,00027	0,00221	0,085	0,36			
anodenseitig anode-sided	R_{thn} [°C/W]	0,00034	0,00541	0,00486	0,0234	0,036		
	τ_n [s]	0,00024	0,0021	0,0376	0,158	2,47		
kathodenseitig cathode-sided	R_{thn} [°C/W]	0,00026	0,00524	0,0132	0,0346	0,0468		
	τ_n [s]	0,00019	0,00192	0,0562	0,65	2,91		
Analytische Funktion / analytical function : $Z_{thJC} = \sum_{n=1}^{n_{\max}} R_{thn} (1 - \text{EXP}(-t / \tau_n))$								

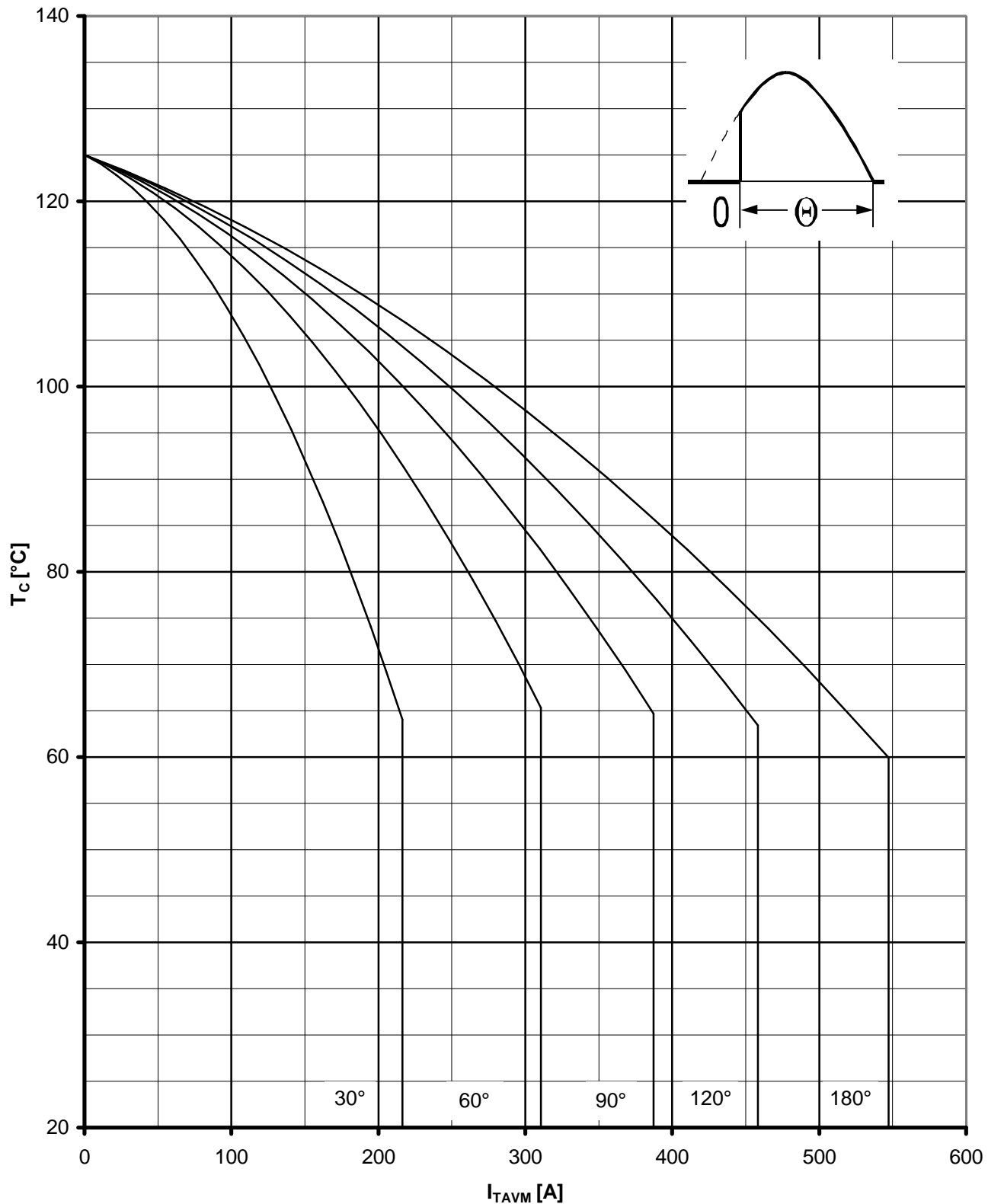
Grenzdurchlaßkennlinie / Limiting On-state characteristic $i_T = f(v_T)$ $T_{vj} = T_{vj\ max}$

Durchlaßverlustleistung / On-state power loss $P_{TAV} = f(I_{TAV})$ Parameter: Stromflußwinkel Θ / current conduction angle Θ

Höchstzulässige Gehäusetemperatur / Maximum allowable case temperature $T_C = f(I_{TAVM})$

Beidseitige Kühlung / Two-sided cooling

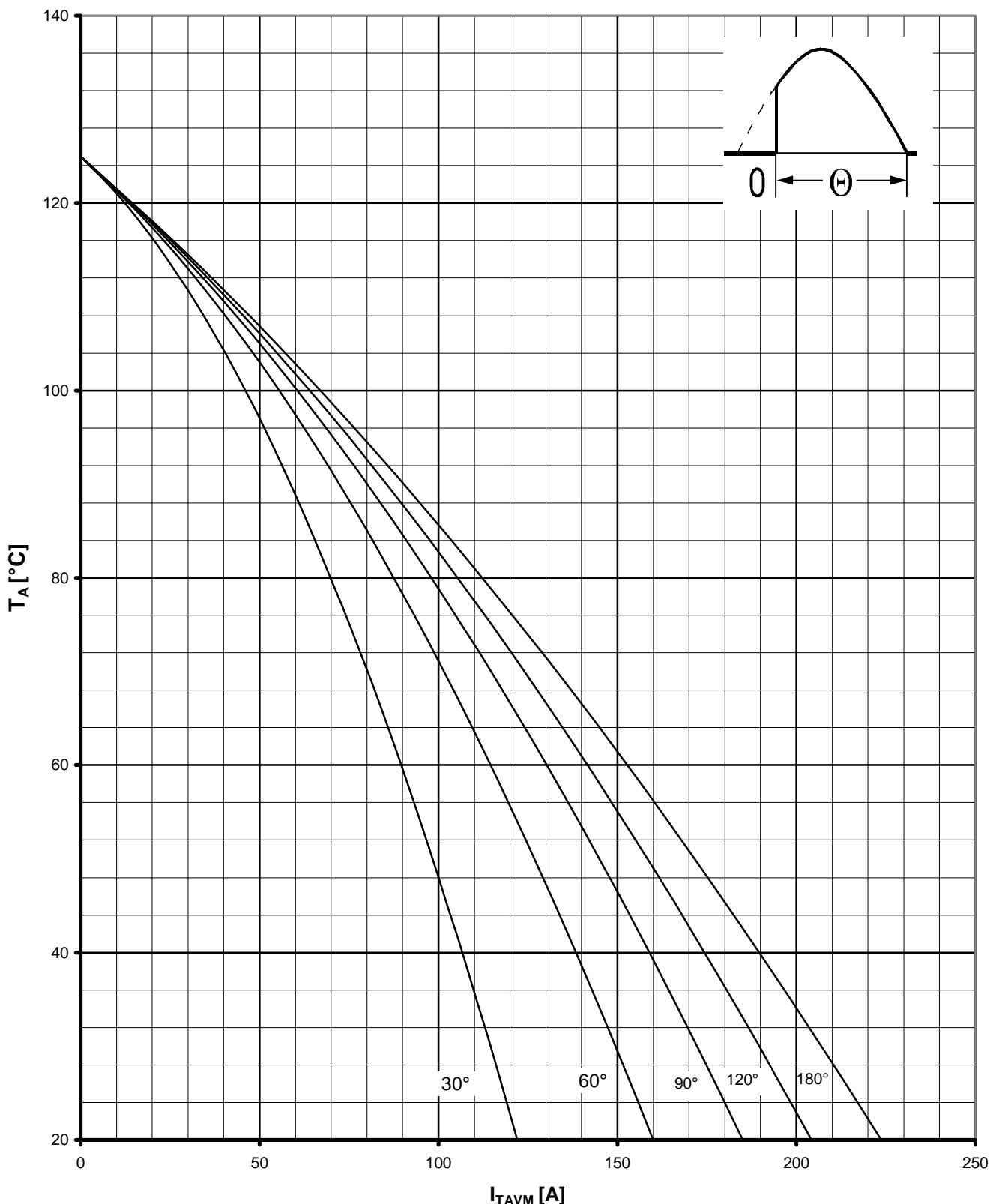
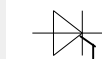
Parameter: Stromflußwinkel Θ / current conduction angle Θ



Höchstzulässige Gehäusetemperatur / Maximum allowable case temperature $T_C = f(I_{TAVM})$

Anodenseitige Kühlung / anode sided cooling

Parameter: Stromflußwinkel Θ / current conduction angle Θ

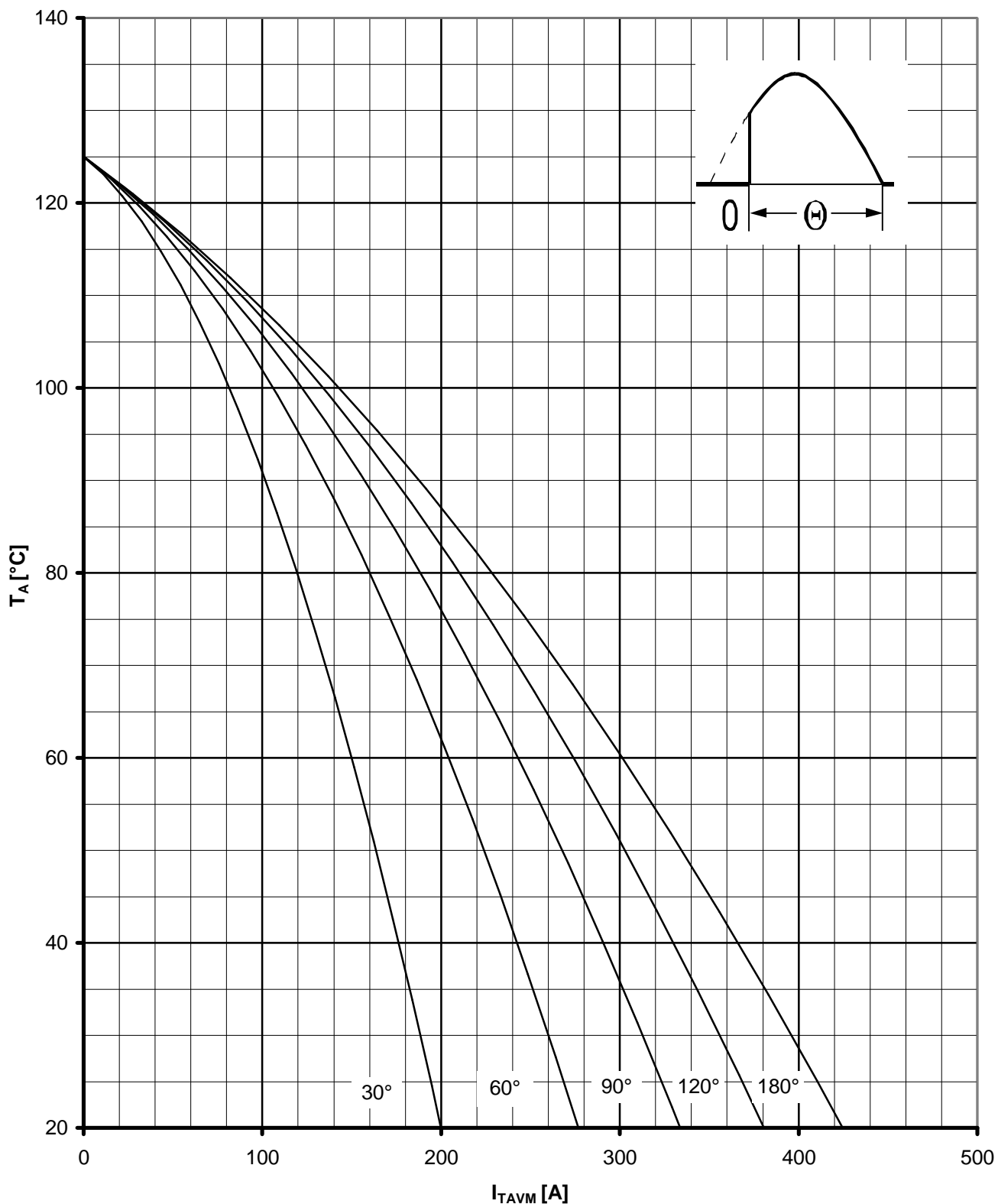


Höchstzulässige Kühlmitteltemperatur / Max. allowable cooling medium temperature $T_A = f(I_{TAVM})$

Luftselbstkühlung / Natural air-cooling

Kühlkörper/Heatsink. K0.36S

Parameter: Stromflußwinkel Θ / current conduction angle Θ

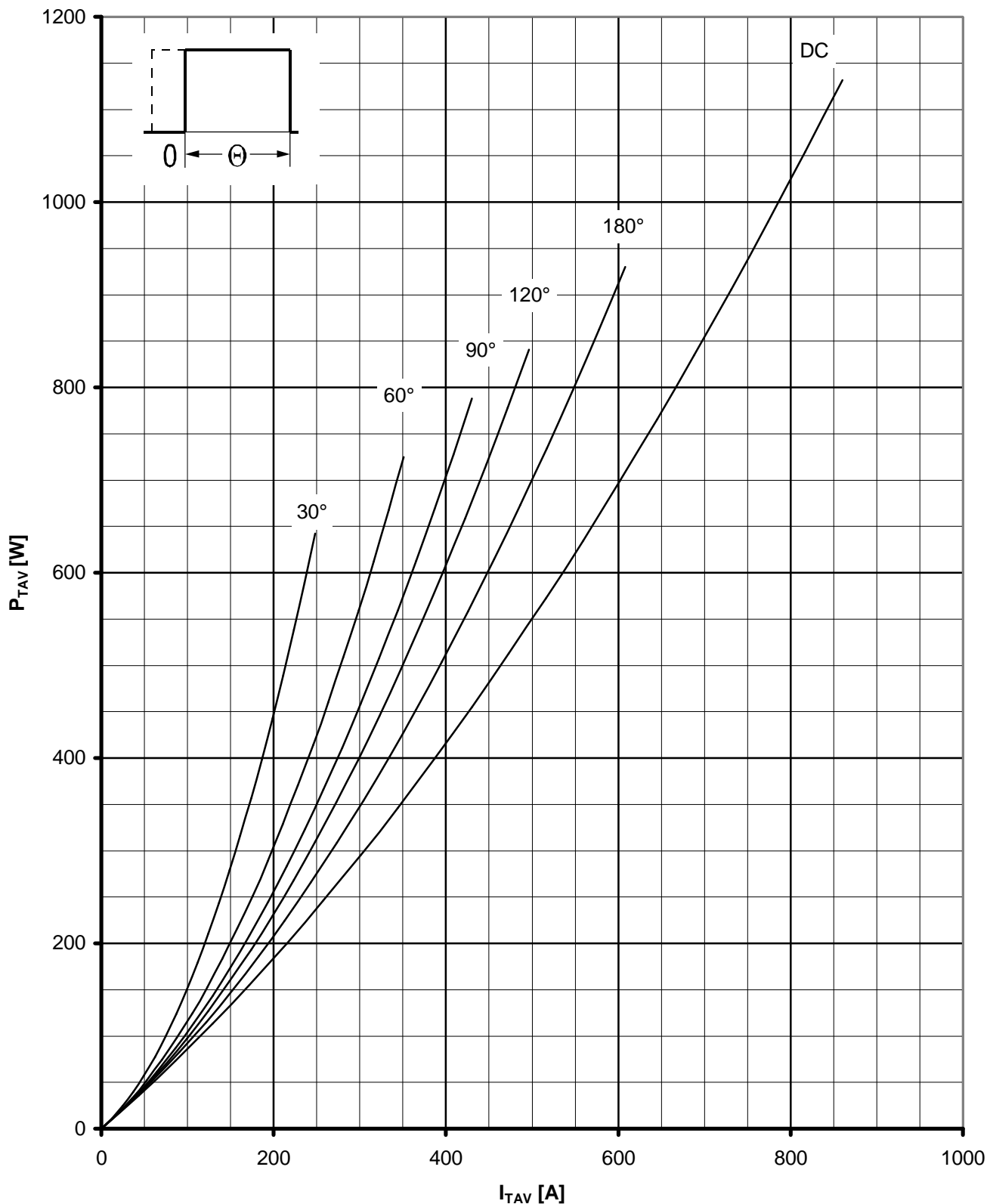


Höchstzulässige Kühlmitteltemperatur / Max. allowable cooling medium temperature $T_A = f(I_{TAVM})$

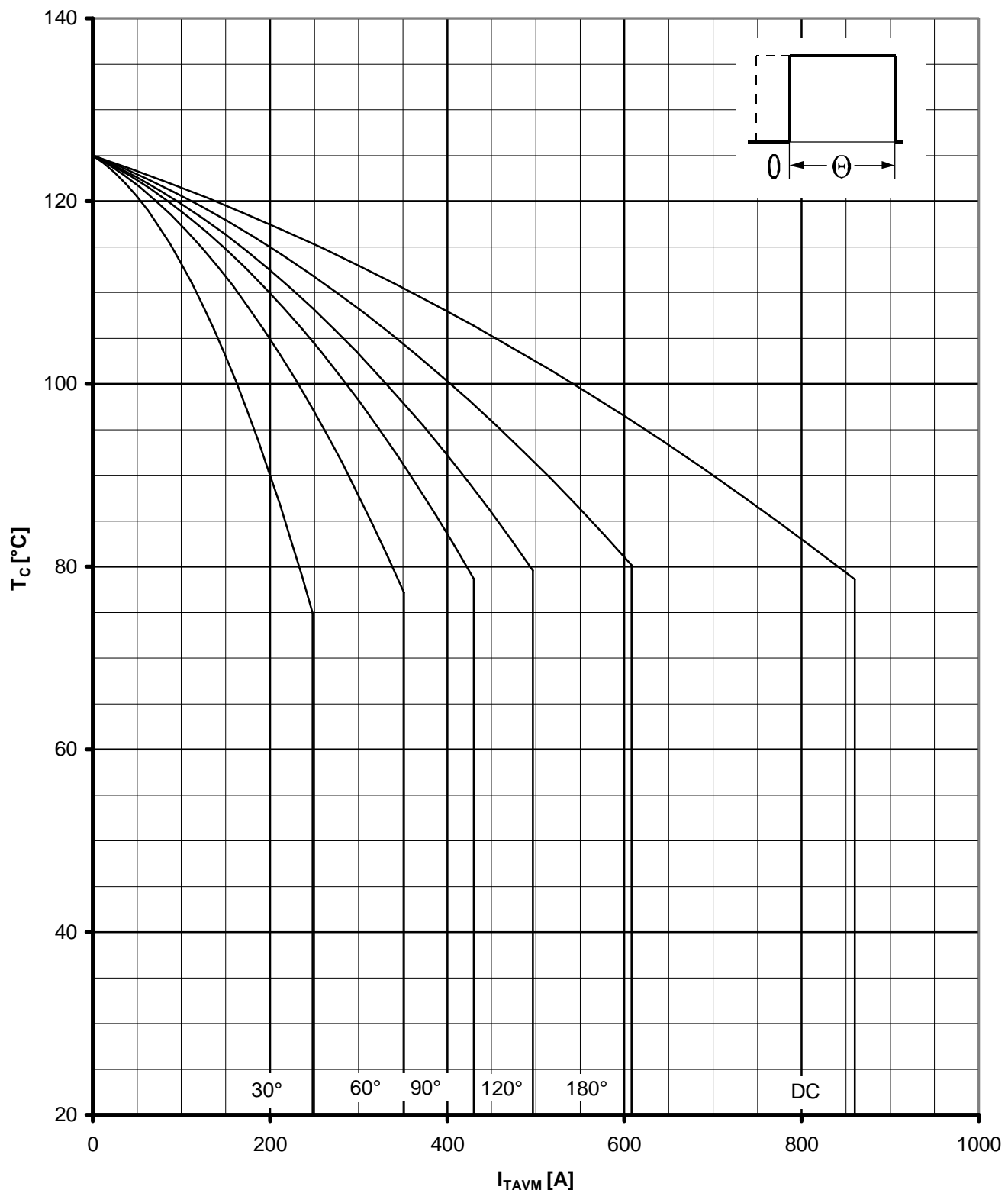
Verstärkte Luftkühlung / Forced air-cooling

Kühlkörper/Heatsink. K0.12F, $V_L = 50$ L/s

Parameter: Stromflußwinkel Θ / current conduction angle Θ



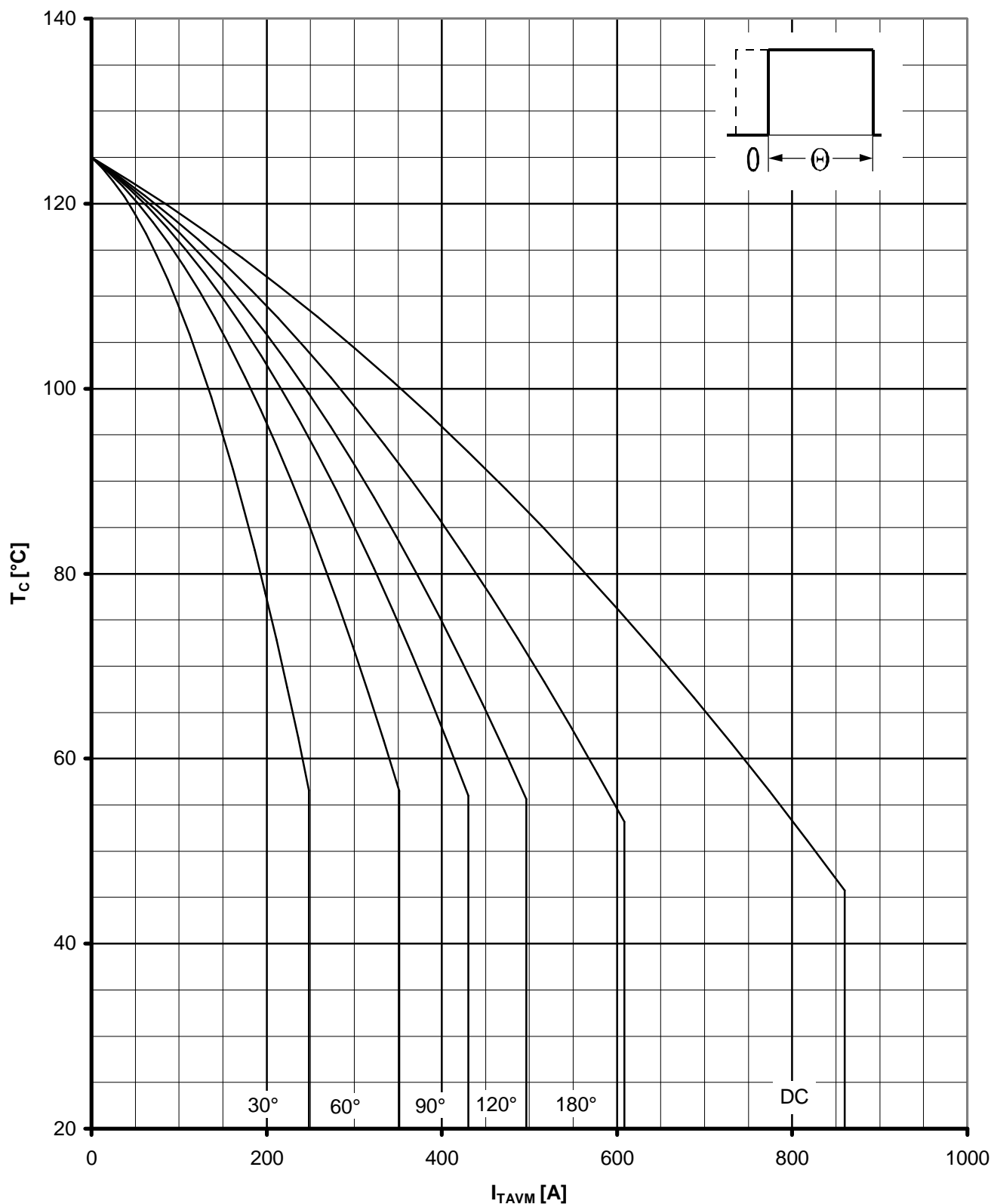
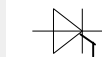
Durchlaßverlustleistung / On-state power loss $P_{TAV} = f(I_{TAV})$
Parameter: Stromflußwinkel Θ / current conduction angle Θ



Höchstzulässige Gehäusetemperatur / Maximum allowable case temperature $T_c = f(I_{TAVM})$

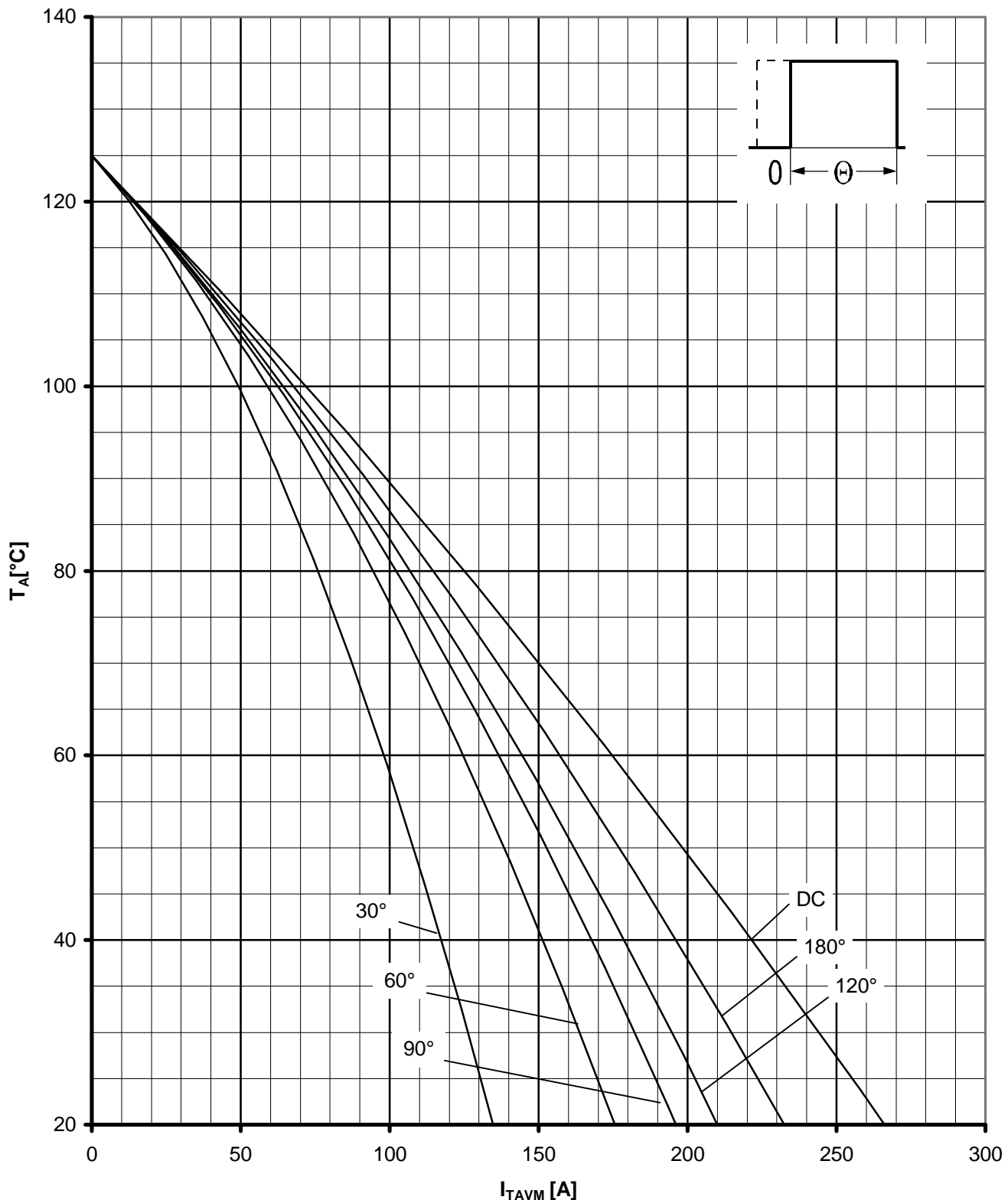
Beidseitige Kühlung / Two-sided cooling

Parameter: Stromflußwinkel Θ / current conduction angle Θ

Höchstzulässige Gehäusetemperatur / Maximum allowable case temperature $T_c = f(I_{TAVM})$

Anodenseitige Kühlung / anode sided cooling

Parameter: Stromflußwinkel Θ / current conduction angle Θ



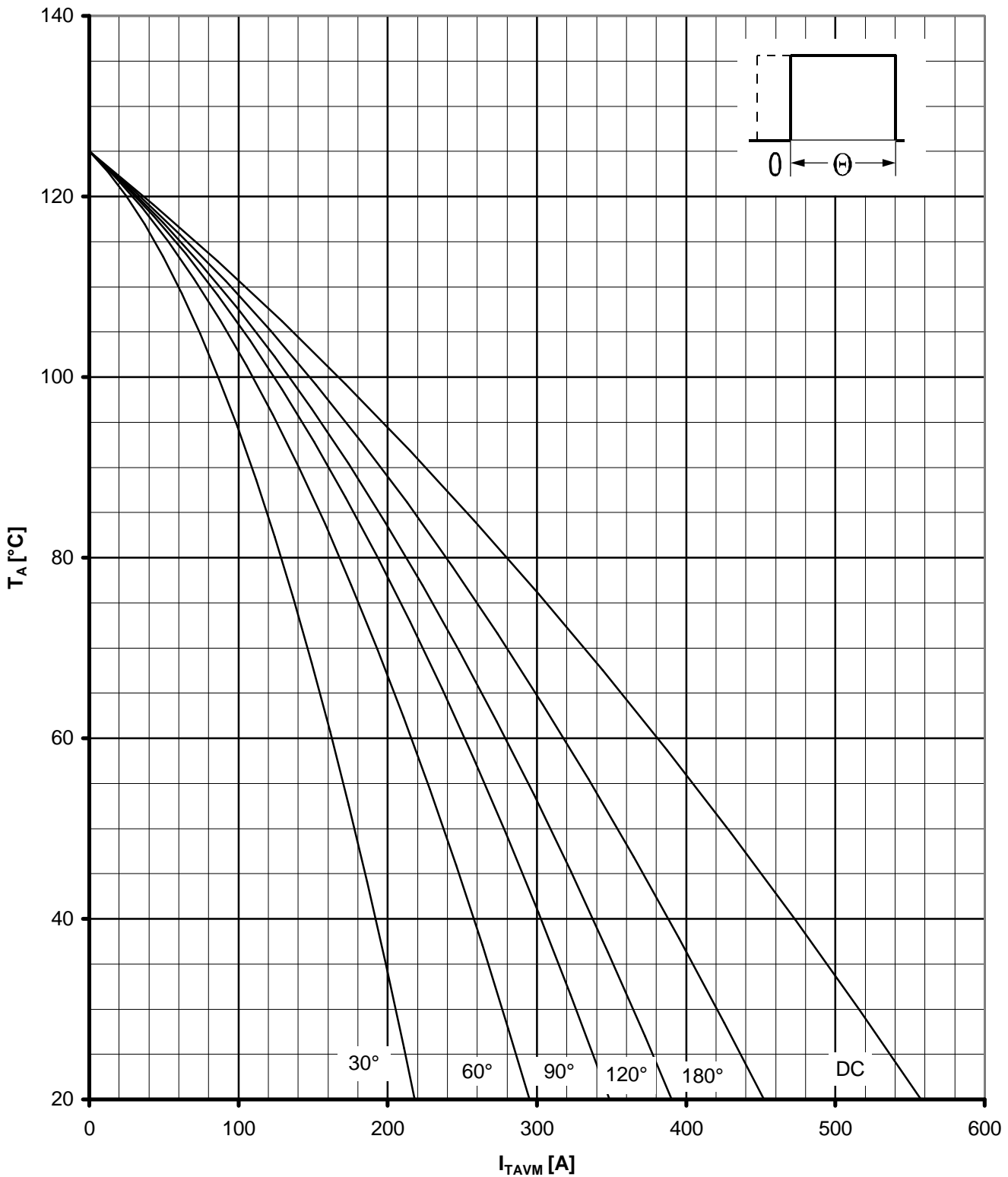
Höchstzulässige Kühlmitteltemperatur / Max. allowable cooling medium temperature $T_A = f(I_{TAVM})$

Luftselbstkühlung / Natural air-cooling

Kühlkörper/Heatsink, K0.36S

Parameter: Stromflußwinkel Θ / current conduction angle Θ

A118/98

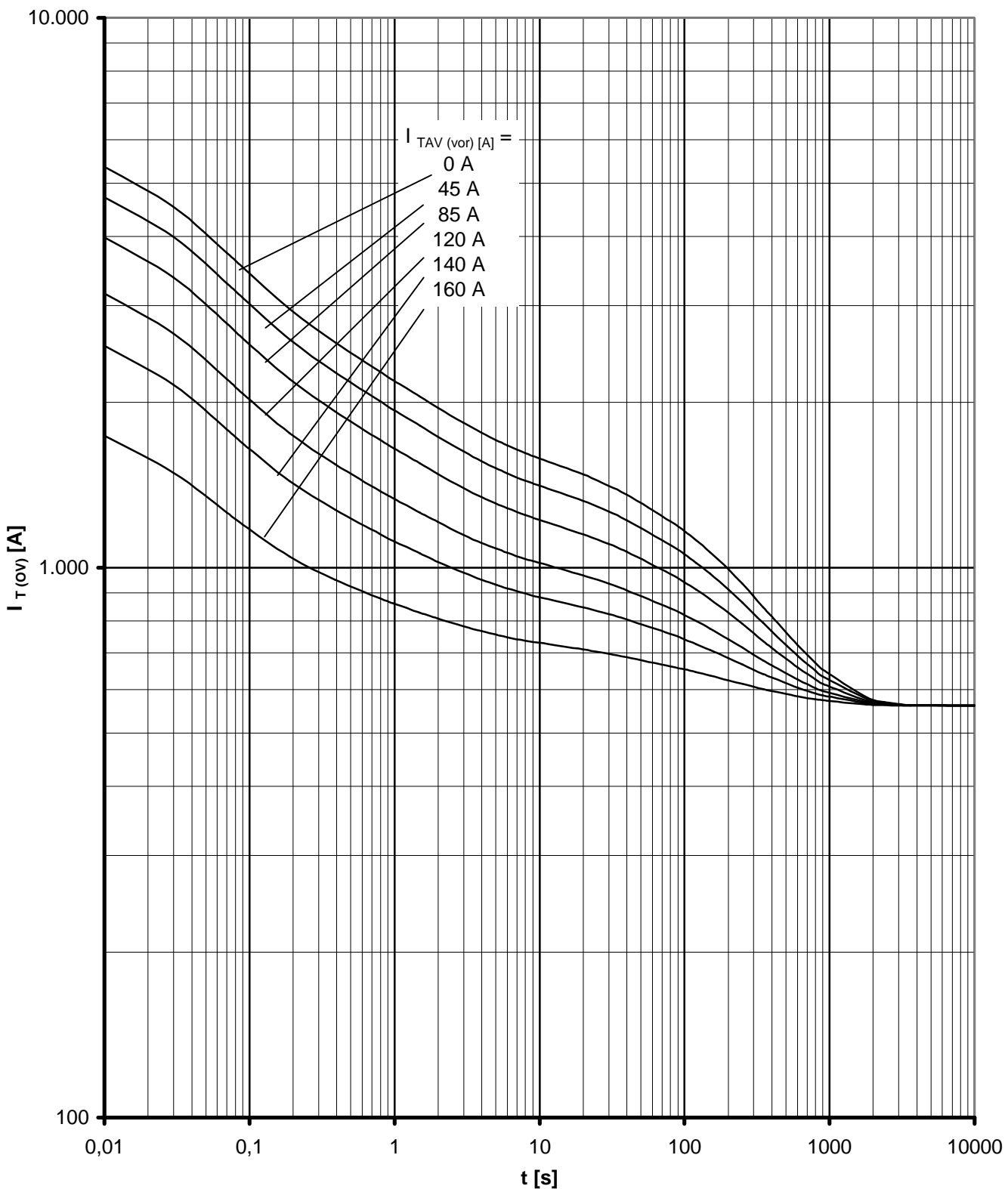


Höchstzulässige Kühlmitteltemperatur / Max. allowable cooling medium temperature $T_A = f(I_{TAVM})$

Verstärkte Luftkühlung / Forced air-cooling

Kühlkörper/Heatsink, K0.12F, $V_L = 50$ l/s

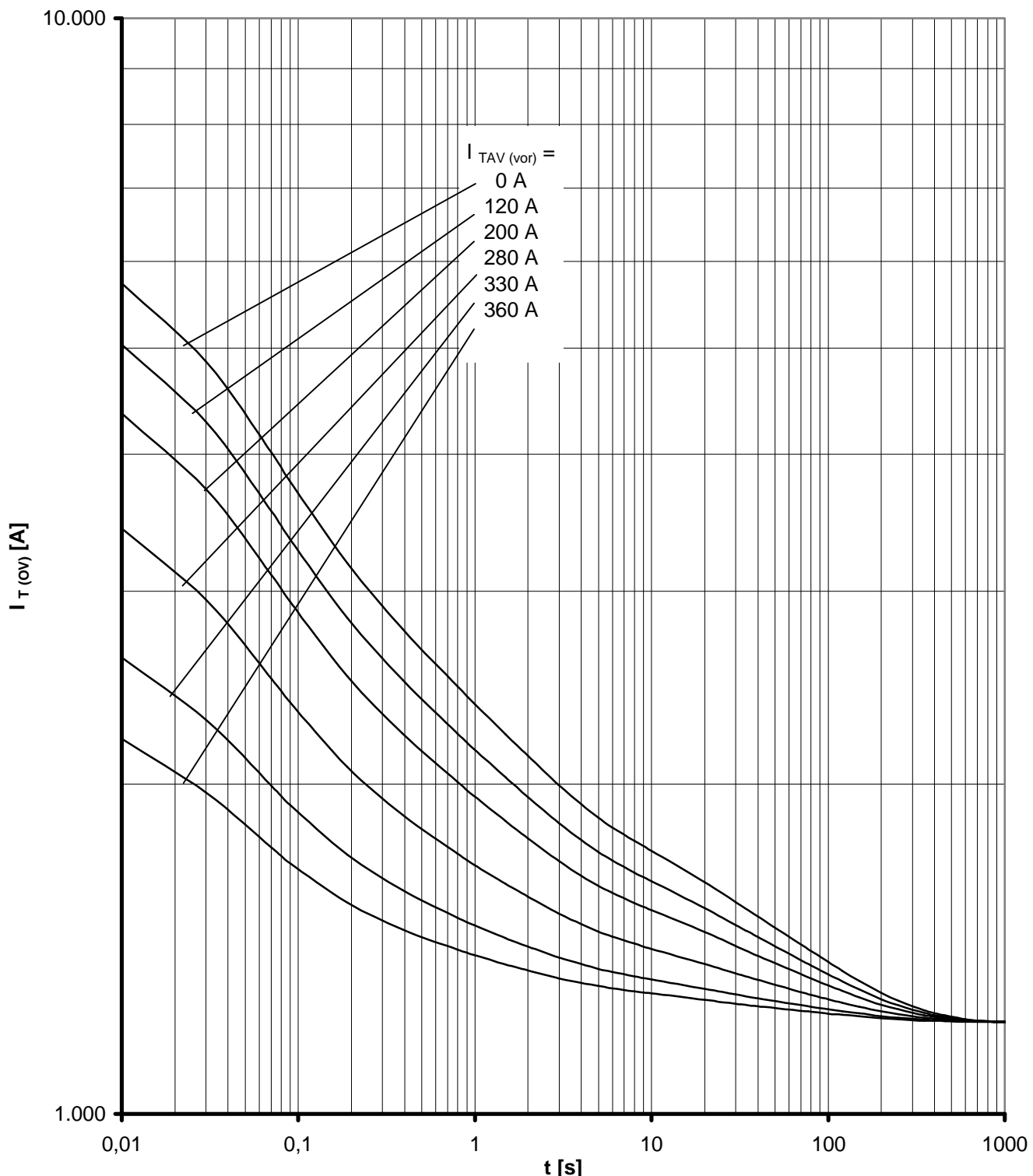
Parameter: Stromflußwinkel Θ / current conduction angle Θ



Überstrom / Overload on-state current $I_{T(OV)} = f(t)$

Beidseitige Luftseltkühlung / Two-sided natural cooling K0.36S
 $T_A = 45^\circ\text{C}$

Parameter: Vorlaststrom / pre-load current $I_{TAV(vor)}$

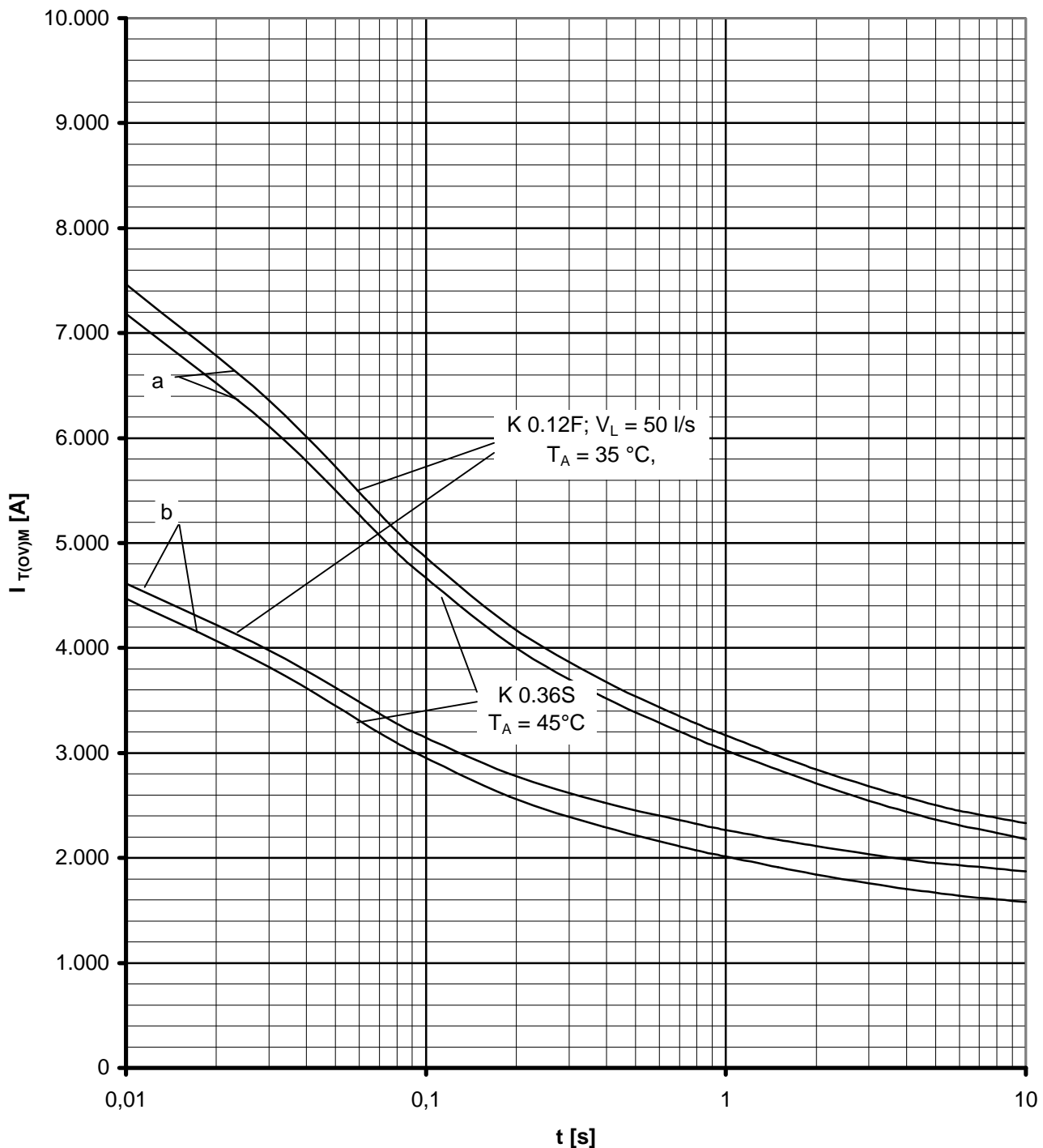


Überstrom / Overload on-state current $I_{T(OV)} = f(t)$

Beidseitige verstärkte Kühlung / forced two-sided cooling K0.12F
 $T_A = 35^\circ\text{C}$, $V_L = 50 \text{ l/s}$

Parameter: Vorlaststrom / pre-load current $I_{TAV(\text{vor})}$

T 548 N 12...18



Grenzstrom / Max. overload on-state current $I_{T(OV)M} = f(t)$, $V_{RM} = 0,8 V_{RRM}$

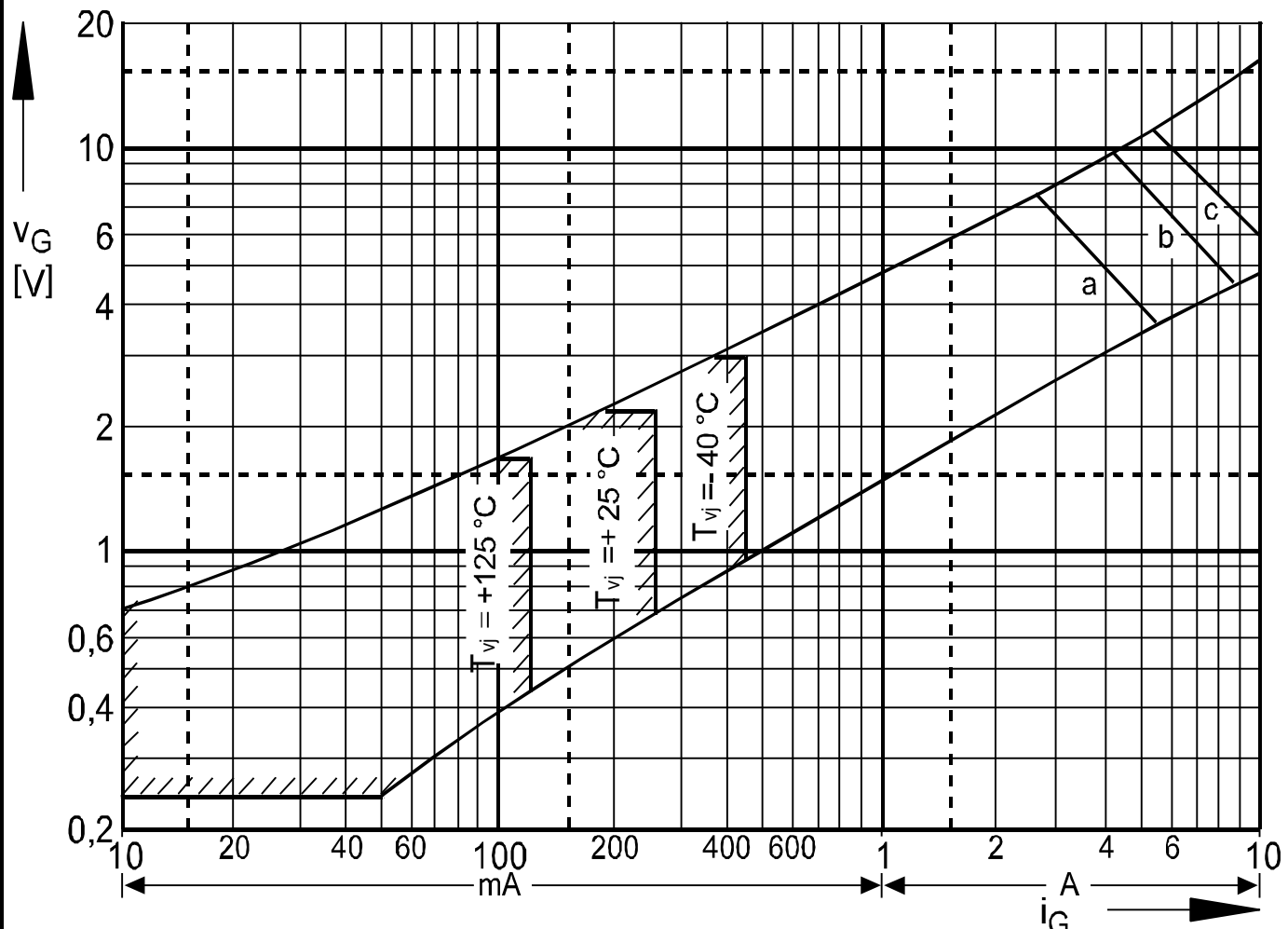
Beidseitige Kühlung / Two-sided cooling

Kühlkörper / Heatsink: K 0.35S, K0.12F

Belastung aus / Surge current occurs:

a - Leerlauf / No-load conditions

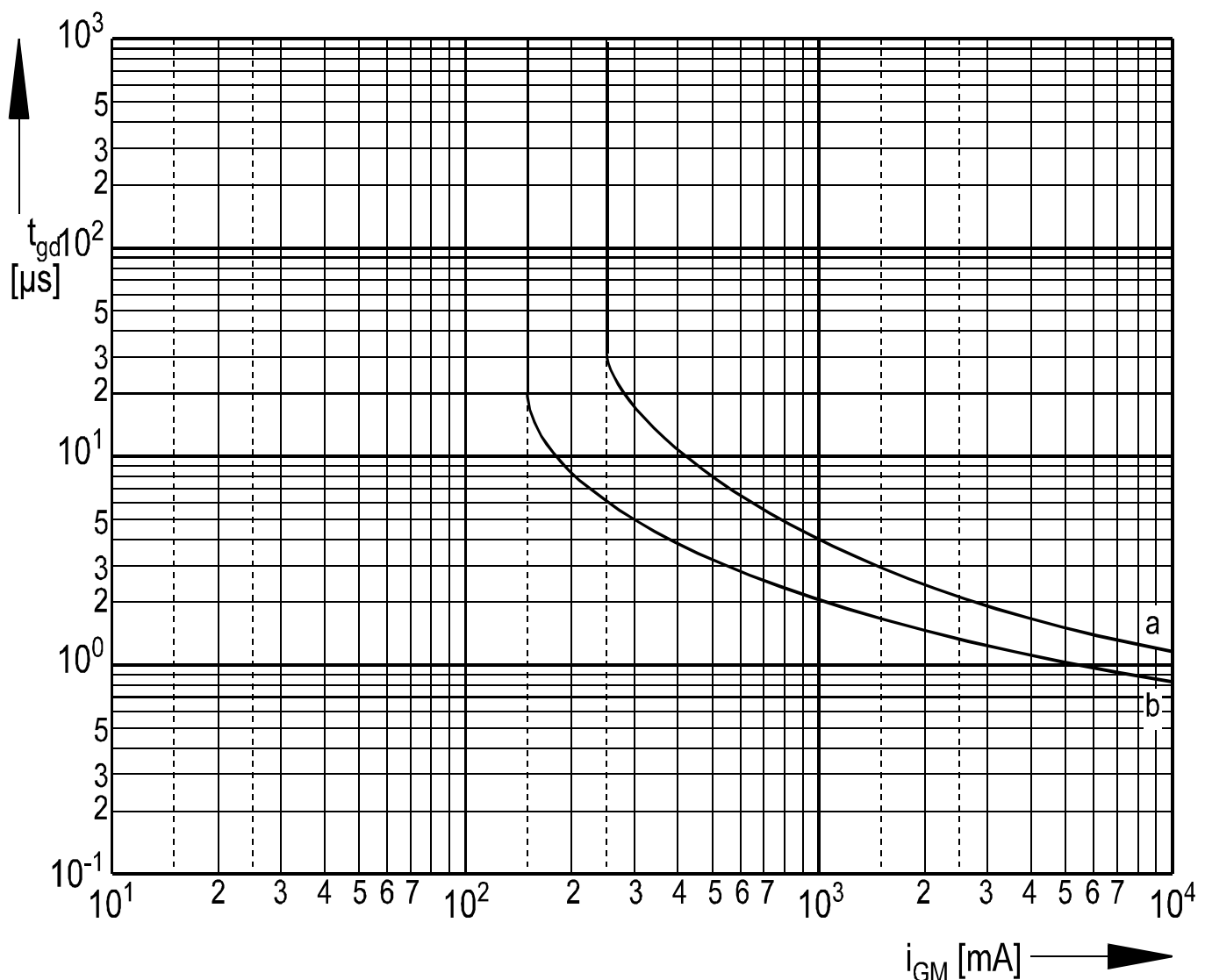
b - Betrieb mit Dauergrenzstrom I_{TAVM} / During operation at max. average on-state current I_{TAVM}



Steuercharakteristik $v_G = f(i_G)$ mit Zündbereichen für $V_D = 6$ V
Gate characteristic $v_G = f(i_G)$ with triggering area for $V_D = 6$ V

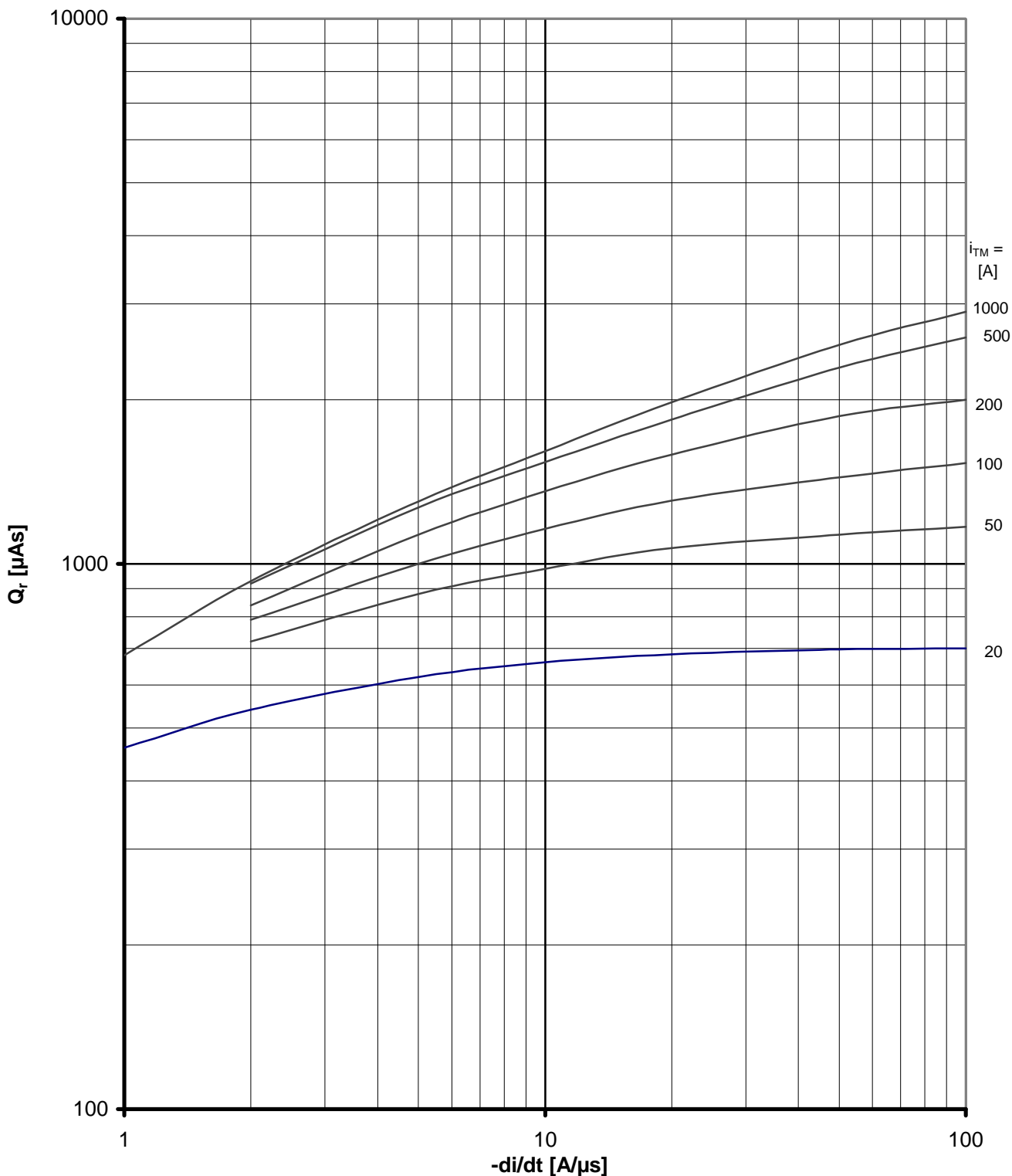
Höchstzulässige Spitzensteuerverlustleistung / Maximum rated peak gate power dissipation $P_{GM} = f(t_g)$:

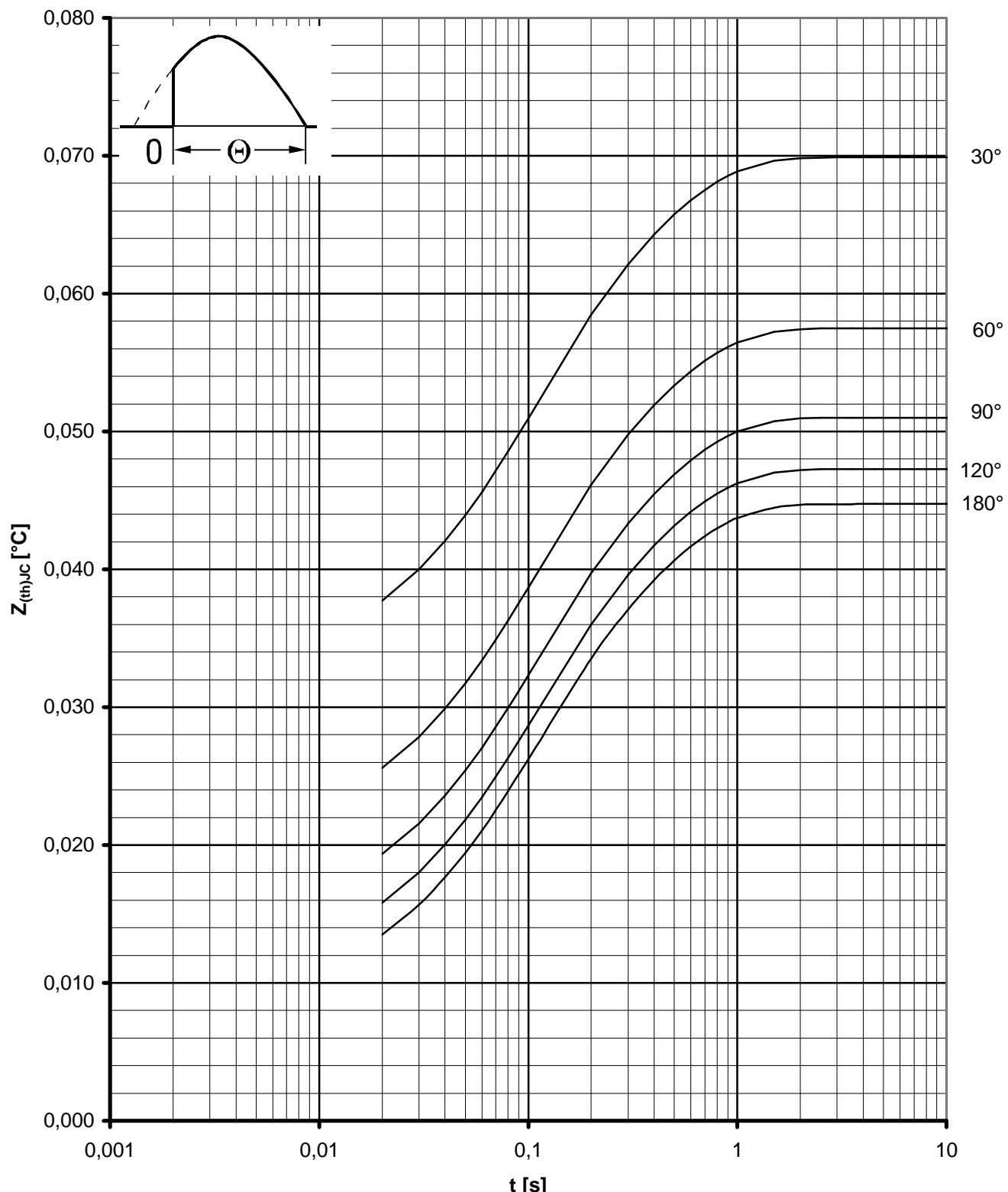
a - 20 W/10ms b - 40 W/1ms c - 60 W/0,5ms

Zündverzug / Gate controlled delay time $t_{gd} = f(i_{GM})$ $T_{vj} = 25^\circ\text{C}, di_G/dt = i_{GM}/1\mu\text{s}$

a - maximaler Verlauf / limiting characteristic

b - typischer Verlauf / typical characteristic

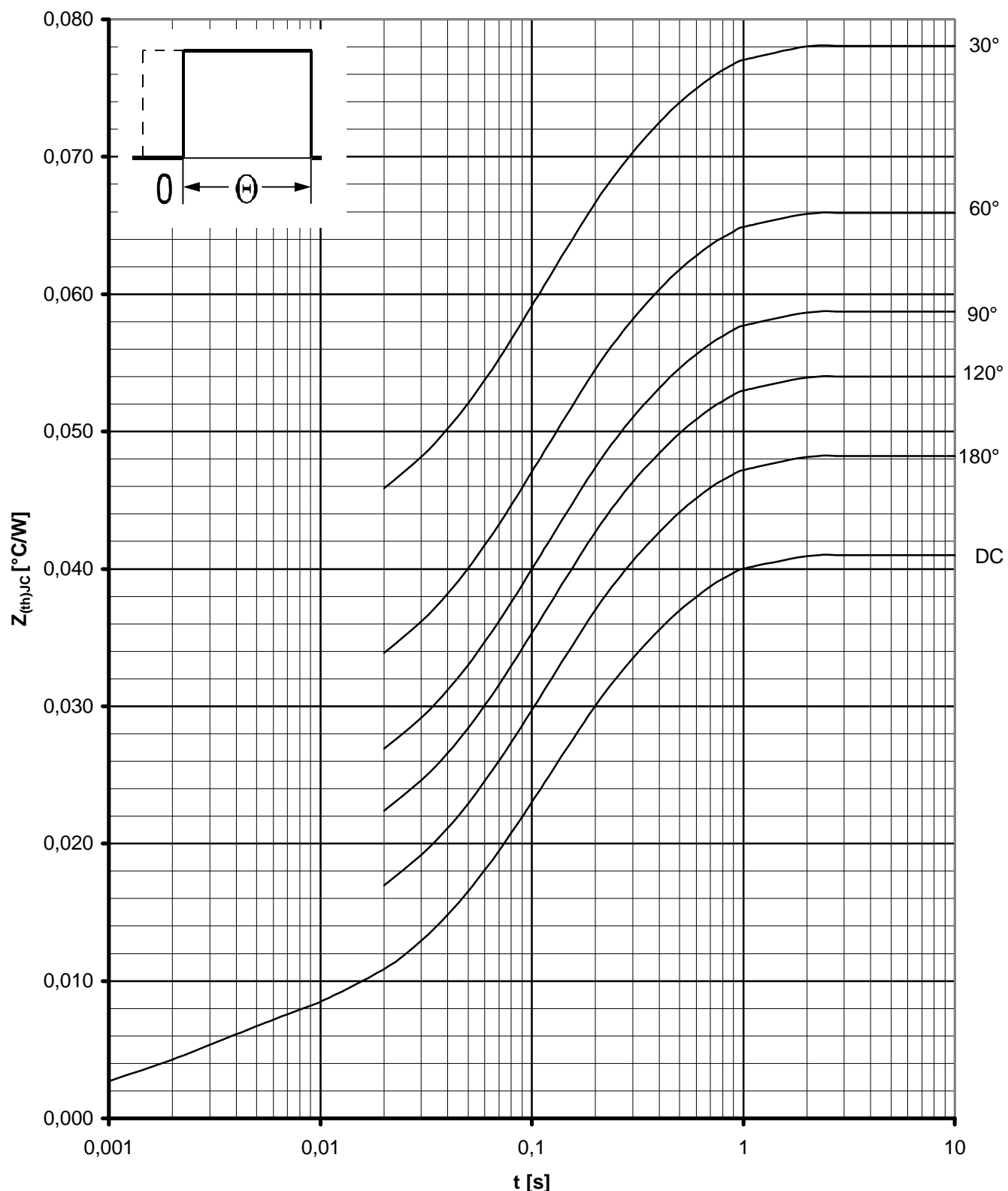
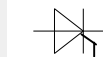
Sperrverzögerungsladung / Recovered charge $Q_r = f(-di/dt)$ $T_{vj} = T_{vj \max}$, $v_R = 0,5 V_{RRM}$, $v_{RM} = 0,8 V_{RRM}$ Parameter: Durchlaßstrom / On-state current i_{TM}



Transienter innerer Wärmewiderstand / Transient thermal impedance $Z_{(th)JC} = f(t)$

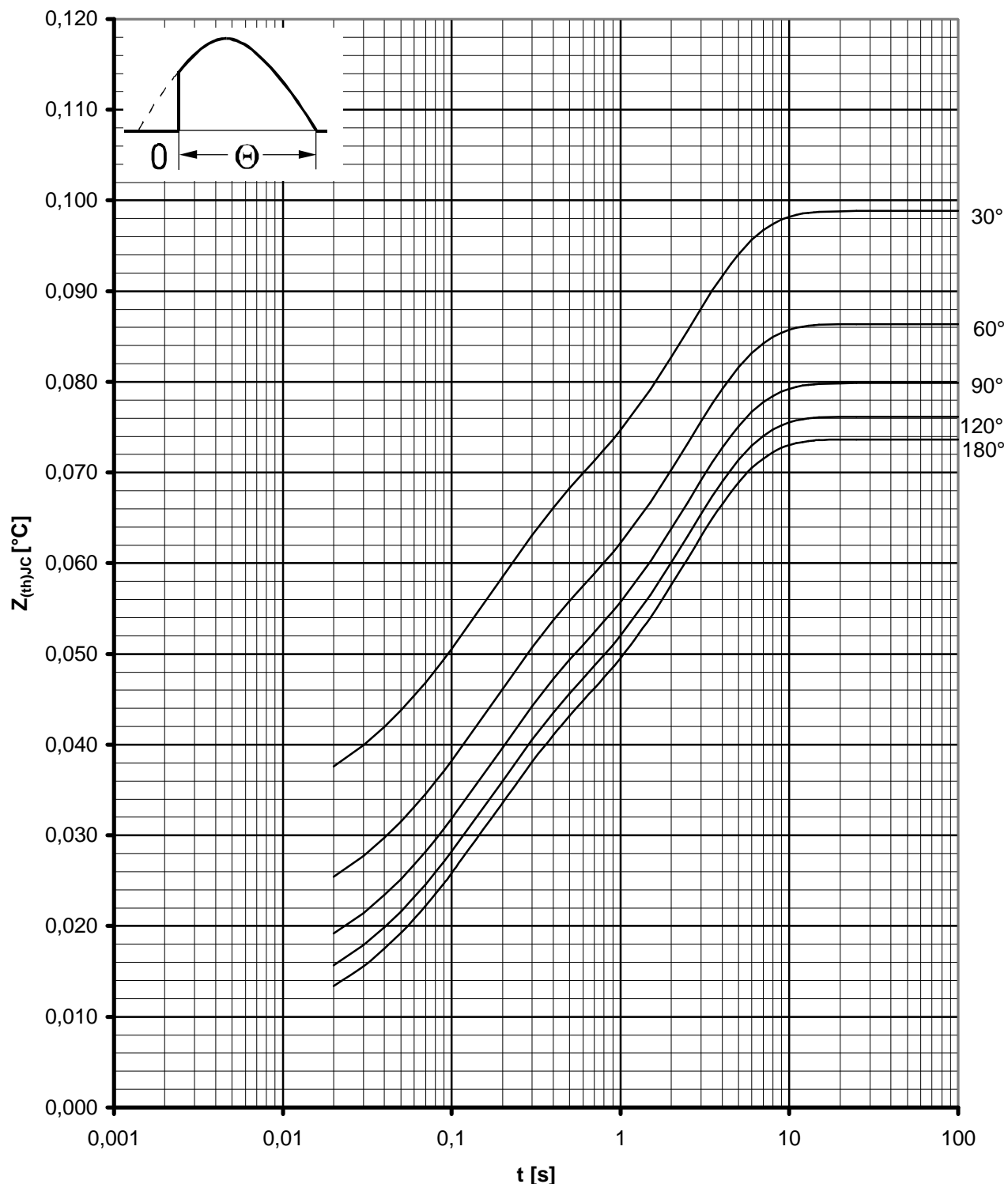
Beidseitige Kühlung / two sided cooling

Parameter: Stromflußwinkel Θ / current conduction angle Θ

Transienter innerer Wärmewiderstand / Transient thermal impedance $Z_{(th)JC} = f(t)$

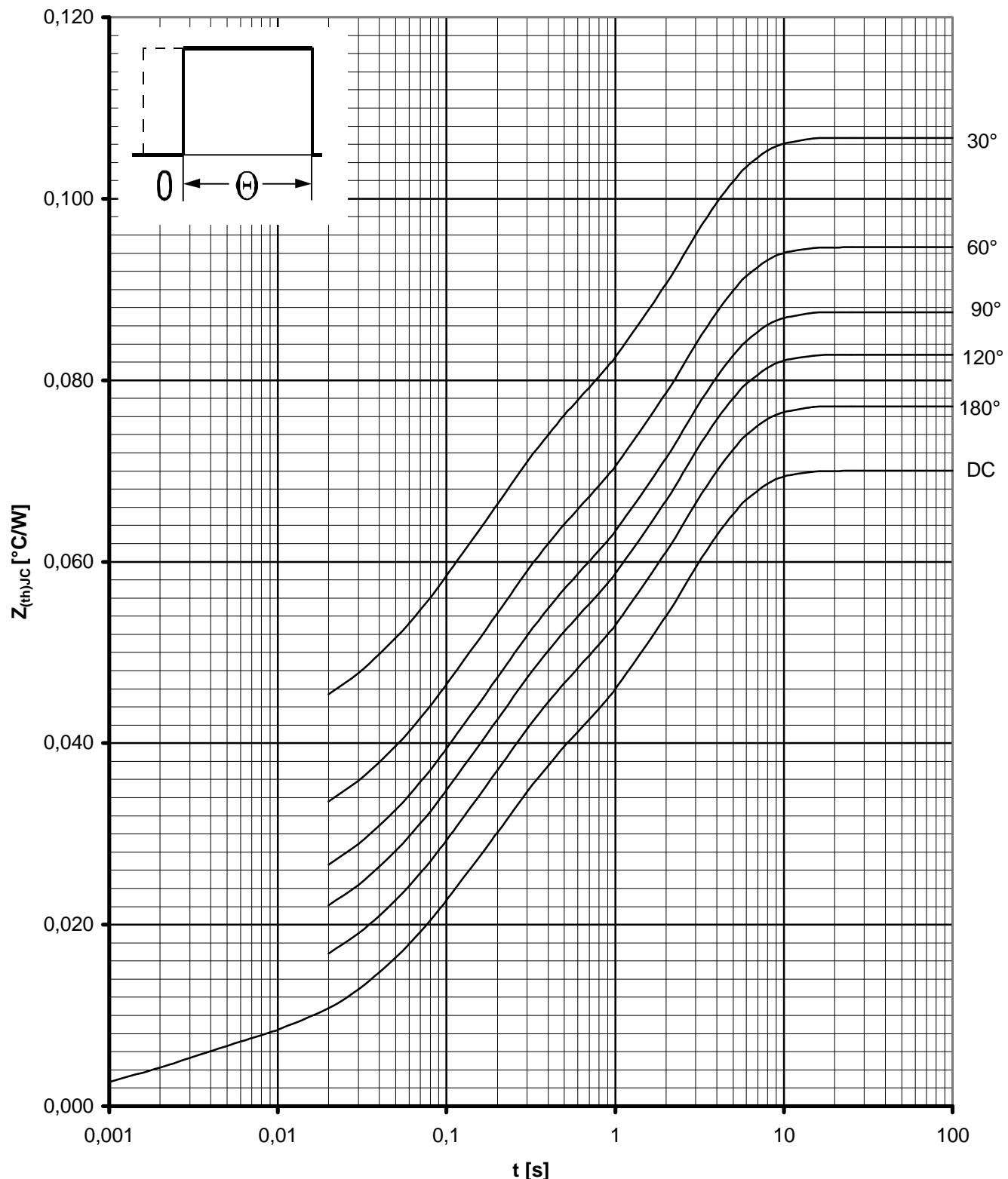
Beidseitige Kühlung / Two-sided cooling

Parameter: Stromflußwinkel Θ / current conduction angle Θ

Transienter innerer Wärmewiderstand / Transient thermal impedance $Z_{(th)JC} = f(t)$

Anodenseitige Kühlung / Anode-sided cooling

Parameter: Stromflußwinkel Θ / current conduction angle Θ



Transienter innerer Wärmewiderstand / Transient thermal impedance $Z_{(th)JC} = f(t)$
 Anodenseitige Kühlung / Anode-sided cooling
 Parameter: Stromflußwinkel Θ / current conduction angle Θ